

## 鉄—スズ系複合酸化物のガスセンサ性能と局所構造

金井宏倣・水谷 浩\*・田中庸裕\*\*・  
船引卓三\*\*・吉田郷弘\*\*・高野幹夫\*\*\*

### The Relationship between Gas Sensor Sensitivity and Local Structures of $\alpha\text{-Fe}_2\text{O}_3\text{-SnO}_2$ Composite Oxides

HIROYOSHI KANAI, HIROSHI MIZUTANI\*, TSUNEHIRO TANAKA\*\*,  
TAKUZO FUNABIKI\*\*, SATOHIRO YOSHIDA\*\* and MIKIO TAKANO\*\*\*

The Fe K-edge X-ray absorption spectra have been recorded to study local structures around iron for fine powdery  $\alpha\text{-Fe}_2\text{O}_3\text{-SnO}_2$  gas sensor which was prepared by the thermal decomposition of coprecipitates from aqueous ferric sulfate and stannic chloride solutions at pH 8. Tin atoms are substituted for iron atoms in the corundum structure of  $\alpha\text{-Fe}_2\text{O}_3$  below 15 mol % of  $\text{SnO}_2$  which is the limit of dissolution. Further addition of  $\text{SnO}_2$  brings about the system unstable by that  $\text{SnO}_2$  enters the lattice as a substitutional defect and produces tetrahedral iron oxide species. The high sensor sensitivity for  $\text{CH}_4$  is intimately correlated with the amount of dissolved  $\text{SnO}_2$  into  $\alpha\text{-Fe}_2\text{O}_3$ .

(Received June 24, 1991)

#### I 緒 言

ある物質のX線の吸収スペクトルはその物質に含まれる元素に特有な吸収端の波長で急激な吸収がおこり、高エネルギー側で吸収が単調減少する。吸収端よりおよそ50 eVまでをXANES(X-ray Absorption Near Edge Structure)とよび、微細構造が観測される。XANESよりさらに高エネルギー側およそ1000 eVにわたって観察される振動構造をEXAFS(Extended X-ray Absorption Fine Structure)とよんでいる<sup>1)</sup>。1971年にSayersらがEXAFSの解析によってX線を吸収する原子の周りの局所構造に関する情報が得られることを明らかにした<sup>2)</sup>。EXAFSの特徴は回折法で扱うことのできない非晶質や溶液、生体関連物質などを対象

にすることができることがある。

硫酸第二鉄と塩化スズの水溶液にアンモニアによってpH 8にして生じた沈殿を673 Kで熱分解して得たFe-Sn系複合酸化物がメタン、水素などの還元性ガス雰囲気下において示す電気抵抗値は空気中における値に比べ小さくなることが中谷らによって報告され、この性質を利用してFe-Sn系複合酸化物は今日家庭用ガスセンサとして実用化されている<sup>3)</sup>。

高野らはセンサ機能の発現をX線回折やメスバウアーによる研究から、Fe-Sn系複合酸化物は熱的に非平衡であるにもかかわらず、かなりの範囲で  $\text{SnO}_2$  が  $\alpha\text{-Fe}_2\text{O}_3$  に固溶していることを示唆した<sup>4)</sup>。純酸化物を1473 Kで焼結した試料に基づいて作成された  $\alpha\text{-Fe}_2\text{O}_3$ -

生活科学部応用化学講座

Laboratory of Applied Chemistry, Faculty of Living Science, Kyoto Prefectural University

\*日本電気㈱、化合物デバイス事業部

\*\*京都大学工学部分子工学専攻

\*\*\*京都大学化学研究所

$\text{SnO}_2$ 系の相図によると  $\alpha\text{-Fe}_2\text{O}_3$ への  $\text{SnO}_2$ の固溶限界は高々1モル%であり<sup>5)</sup>、共沈法で調製した鉄-スズ複合酸化物のスズの固溶範囲が広くなるのは調製の際に硫酸イオンが取込まれ、その作用によることが指摘された。しかし、固溶置換の限界や高  $\text{SnO}_2$ 量での局所構造に関する詳しい知見は得られておらず、またセンサ性能と構造との関係も明らかにされていない。

そこで、スズ添加による鉄-スズ系複合酸化物のガスセンサ性能向上の原因を探るために、鉄の周りの局所構造をX線吸収法によって調べた。

## II 実験

$\text{SnO}_2$ 5, 15, 33, 67モル%含む  $\text{Fe}_2\text{O}_3\text{-SnO}_2$ は  $\text{Fe}^{3+}$ ,  $\text{Sn}^{4+}$ ,  $\text{SO}_4^{2-}$ ,  $\text{Cl}^-$ を含む溶液をアンモニアによってpH8にして生成した共沈殿を673Kで熱分解して得た。X線吸収実験は高エネルギー物理学研究所放射光実験施設ビームラインBL 10Bにおいて、Fe K吸収端（分解能0.45eV）についてSi(311)チャンネルカット結晶によるモノクロメーターを用い、室温、透過法で行なった。EXAFSの解析は既報の方法<sup>6,7)</sup>で行なった。試料は  $\text{Fe}_2\text{O}_3\text{-SnO}_2$ をポリエチレン粉末と混合し、赤外用錠剤でプレスしたペレットを用いた。標準試料として  $\alpha\text{-Fe}_2\text{O}_3$ ,  $\text{Fe}(\text{acac})_3$ (acac=アセチルアセトナート),  $\text{Fe}_3\text{O}_4$ ,  $\gamma\text{-Fe}_2\text{O}_3$ を用いた。

## III 結果と考察

### センサ性能

センサのガス感度は673Kにおける  $R_a/R_{(0.5)}$  で示される<sup>3,4)</sup>。(Fig. 1)  $R_a$ は空気中での抵抗値、 $R_{(0.5)}$ はメタ

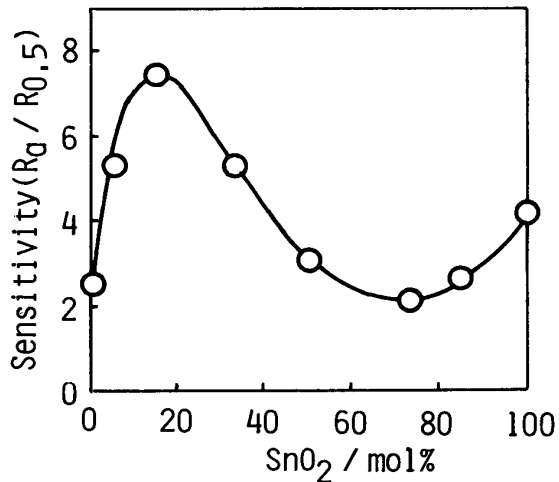


Fig. 1. Plot of methane sensor-sensitivity at 673K vs  $\text{SnO}_2$  content of  $\text{Fe}_2\text{O}_3\text{-SnO}_2$  composite oxides.

ンガス0.5体積%含む空気中での抵抗値である。 $\alpha\text{-Fe}_2\text{O}_3$ ,  $\text{SnO}_2$ 単独でもセンサ機能はあるが、 $\text{SnO}_2$ 15~20モル%含むとき最大感度が得られた。

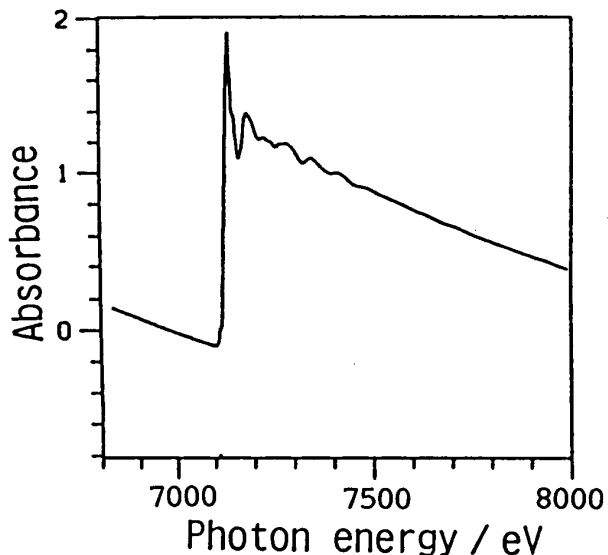


Fig. 2. X-ray absorption spectrum of Fe K-edge for  $\alpha\text{-Fe}_2\text{O}_3$ .

### Fe K吸収端のEXAFS

Fig. 2に $\alpha\text{-Fe}_2\text{O}_3$ のK吸収端のX線吸収図を示した。FeのX線吸収係数を $\mu(k)$ とし、孤立原子の吸収係数を $\mu_0(k)$ としたとき、振動部分のみをとりだしたEXAFS振動関数 $\chi(k)$ は次式で与えられる。

$$\chi(k) = (\mu(k) - \mu_0(k)) / \mu_0(k) \quad \dots \dots \dots \quad (1)$$

$$k = 2\pi\{2m(E-E_0)\}^{1/2}/\hbar \quad \dots \dots \dots \quad (2)$$

ただし、 $k$ は光電子波数、 $E$ はX線エネルギー、 $E_0$ は光電子が飛出すエネルギーの閾値、 $\hbar$ はPlanck定数である。一回散乱の仮定、平面波近似のもとでの理論により $\chi(k)$ は次式で表される<sup>8)</sup>。

$$\chi(k) = \sum_j (N_j S_j / kr_j^2) F_j(k) \exp(-2\sigma_j^2 k^2) \times \exp(-2r_j/\lambda) \sin\{2kr_j + \delta_j(k)\} \quad \dots \dots \dots \quad (3)$$

$N_j$ は吸収原子周りの散乱原子 $j$ の配位数、 $r_j$ は吸収原子と散乱原子 $j$ との距離、 $S_j$ は非弾性散乱による補正項、 $F_j(k)$ は原子 $j$ による後方散乱振幅、 $\sigma_j$ はDebye-Waller因子、 $\lambda$ は電子の平均自由行程、 $\delta_j(k)$ は位相シフトである。

$\chi(k)$ に $k$ の3乗で重みをつけた鉄-スズ系複合酸化物の鉄K吸収端のEXAFS振動(Fig. 3)は、 $\text{SnO}_2$ 33モル%で8~10 $\text{\AA}^{-1}$ の振幅が減少している。 $\text{SnO}_2$ 33モル%まで $\alpha\text{-Fe}_2\text{O}_3$ によくにているが、 $\text{SnO}_2$ 67モル%では波数が高くなると振幅が減少する傾向が見られ、乱れてくる。高波数領域の振幅が減少することは鉄やスズなどの比較的重い原子の配位数が減少したのか、あるいは鉄の周りの配位状況が乱雑になったためである。

EXAFSをフーリエ変換したFig. 4は動径分布関数に相当し、ピークの位置は位相シフトのため真の配位距離より少し短くなっている。1~2 $\text{\AA}$ のピークはFe-O結合、2~4 $\text{\AA}$ のピークはFe-Fe, Fe-Sn結合に帰属される。それぞれのピークに相当するものが複数見られるることは、距離の異なるあるいは散乱原子種が異なる

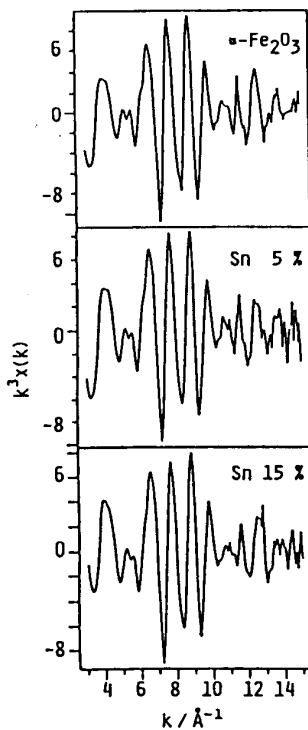


Fig. 3.  $k^3$ -Weighted EXAFS of Fe K-edge for  $\text{Fe}_2\text{O}_3$ - $\text{SnO}_2$  composite oxides.

ることが予想される。 $\text{SnO}_2$ の添加量が増加するにつれて、1~2 Åのピークは少しシャープになっている。2~4 Åのピークは  $\text{SnO}_2$  33 モル%で大きく低下している。Fig. 3 でみた  $\text{SnO}_2$  33 モル%での EXAFS 振動の振幅が高波数側で大きく減少していたことに対応している。スズの添加によって鉄の周りの局所構造に変化がおきていることを示唆している。

カーブフィッティング法によって Fe の周りの局所構造のパラメーターを求めてみた。Fig. 4 の 0.6~4 Å の範囲を逆フーリエ変換し、特定の配位圏に対する EXAFS 関数を抽出し、(3)式により構造パラメーターを

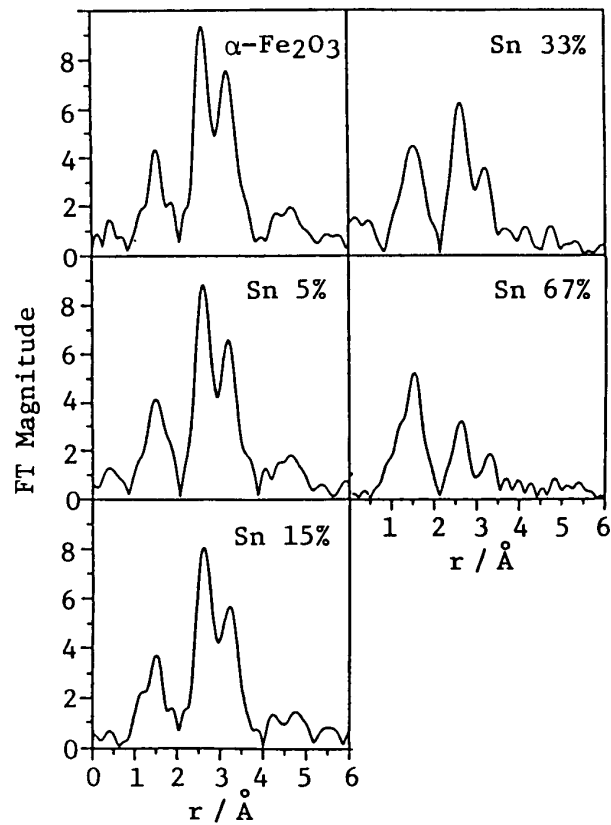


Fig. 4. Fourier transforms of Fe K-edge for  $\text{Fe}_2\text{O}_3$ - $\text{SnO}_2$  composite oxides.

求めた。(Table 1) 散乱原子の  $F_j(k)$ ,  $\delta_j(k)$  は Teo と Lee<sup>9)</sup>の値を用い、標準試料の  $\alpha$ - $\text{Fe}_2\text{O}_3$ ,  $\text{Fe}(\text{acac})_3$ についてフィッティングを行い、X 線回折による構造パラメーターとよく一致することを確かめた。複合酸化物のフィッティングは Fe-O について 2 shells, Fe-Fe について 3 shells, Fe-Sn について 1 shell でフィットした。 $\text{SnO}_2$  15 モル%以下の試料は  $\alpha$ - $\text{Fe}_2\text{O}_3$  の構造と同一である。スズを添加すると Fe-Sn ペアを加えて始め

Table 1. Structural parameters for Fe-Sn composite oxides

$\text{SnO}_2$ mol%	Fe-O		Fe-O		Fe-Fe		Fe-Fe		Fe-Sn	
	CN	R/Å	CN	R/Å	CN	R/Å	CN	R/Å	CN	R/Å
5	3.0	1.95	3.1	2.08	3.9	2.96	2.7	3.39	4.1	3.69
15	3.1	1.93	3.0	2.06	4.0	2.95	2.9	3.37	3.6	3.69
33	2.6	1.86	2.7	1.95	4.0	2.95	2.8	3.36	3.1	3.68
$\alpha$ - $\text{Fe}_2\text{O}_3$	3.0	1.95	3.0	2.04	4.1	2.95	3.1	3.37	3.8	3.69
$\alpha$ - $\text{Fe}_2\text{O}_{3a})$	3.0	1.98	3.0	2.06	4.0	2.94	3.0	3.6	4.0	3.74

CN: Coordination number. R: Bond distance. a) Crystallographic reference data.

てよい一致が得られた。 $\text{SnO}_2$ を加えたときのFe-Sn距離が $\alpha\text{-Fe}_2\text{O}_3$ の3.37 Åによく一致している。これはスズが $\alpha\text{-Fe}_2\text{O}_3$ の鉄と置換的に固溶していることを示している。Fe-Snペアの配位数は $\text{SnO}_2$ 15モル%以上ではほとんど変化しないことが分る。

Fe-O距離はいずれのshellについても $\text{SnO}_2$ 33モル%以上になると約0.07~0.13 Å短かくなっている。この理由についてXANESスペクトルを検討した。

なお、 $\text{SnO}_2$ 67モル%の試料のフィッティングは可能な構造についておこなったが、満足した結果は得られなかった。Feの周りの構造は不規則になっていると考えられる。

#### Fe XANESスペクトル

吸収端近傍のスペクトル、XANESをFig. 5に示し

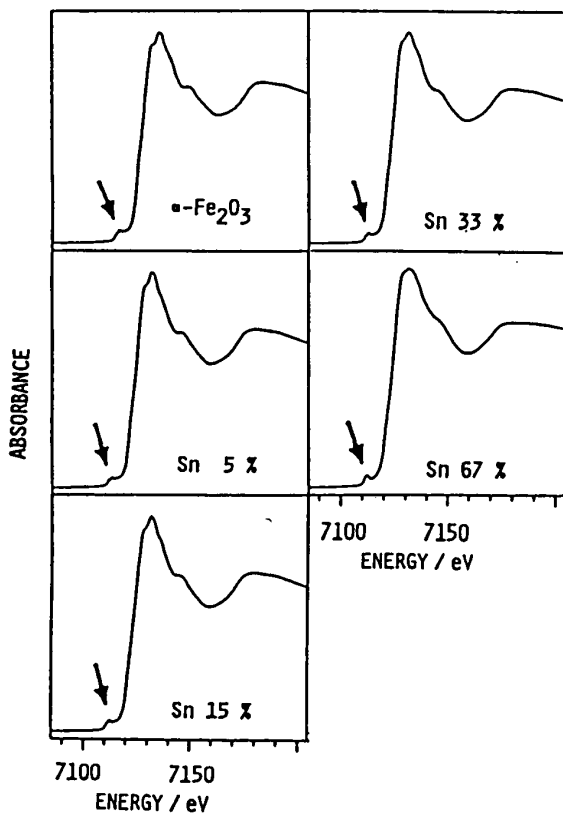


Fig. 5. XANES spectra of Fe K-edge for  $\text{Fe}_2\text{O}_3\text{-SnO}_2$  composite oxides.

た。XANESスペクトルからは吸収原子の周りの配位状態の対称性に関する情報が得られる<sup>10)</sup>。矢印で示したpre-edgeピークは $1\text{s} \rightarrow 3\text{d}$ への電子遷移によるもので、通常禁制な遷移が現れるということは、 $\alpha\text{-Fe}_2\text{O}_3$ のFeが正八面体中心からずれ、p性が混合する結果許容されることが考えられる。このままでは差がはっきりしないので微分をとった結果をFig. 6に示す。 $\alpha\text{-Fe}_2\text{O}_3$ 自身および $\text{SnO}_2$ の量が少ない試料はピークが2本観測されるが、スズの添加量が増すことによって2本の

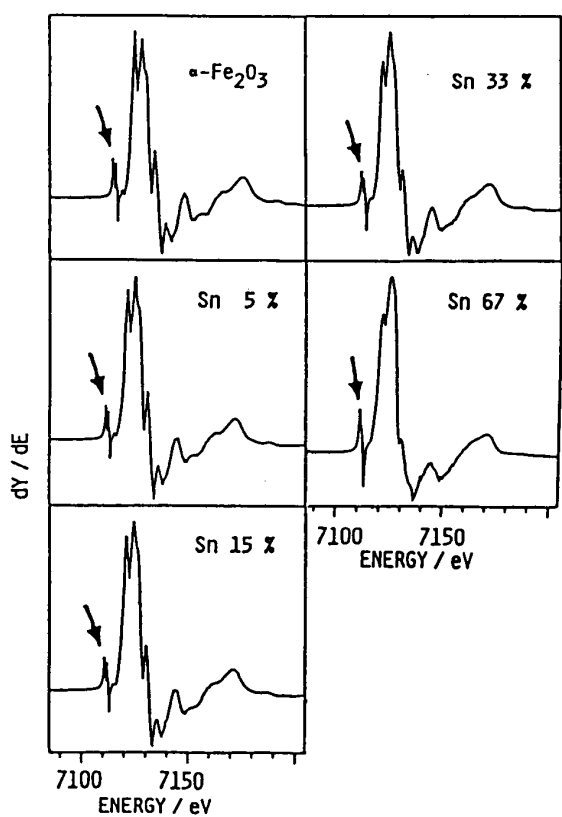


Fig. 6. Differential XANES spectra of Fe K-edge for  $\text{Fe}_2\text{O}_3\text{-Sn}$  composite oxides.

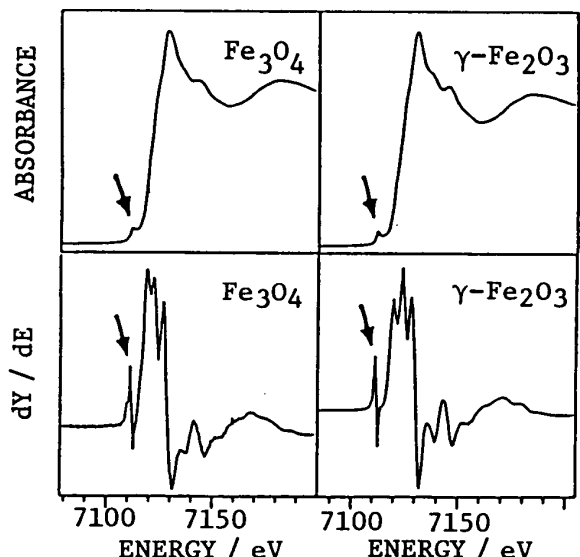


Fig. 7. Original and differential XANES spectra of Fe K edge for authentic  $\text{Fe}_3\text{O}_4$  and  $\gamma\text{-Fe}_2\text{O}_3$ .

ピークは接近し、 $\text{SnO}_2$ 67モル%になると1本になる。

四面体中心をもつ標準試料としてスピネル構造の $\text{Fe}_3\text{O}_4$ と $\gamma\text{-Fe}_2\text{O}_3$ のXANESの微分曲線が $\text{SnO}_2$ 67モル%とよく似ていることが分る。

#### 鉄-スズ複合酸化物の構造とセンサ性能

高野らのX線回折、メスバウアーの結果<sup>4)</sup>とあわせ本

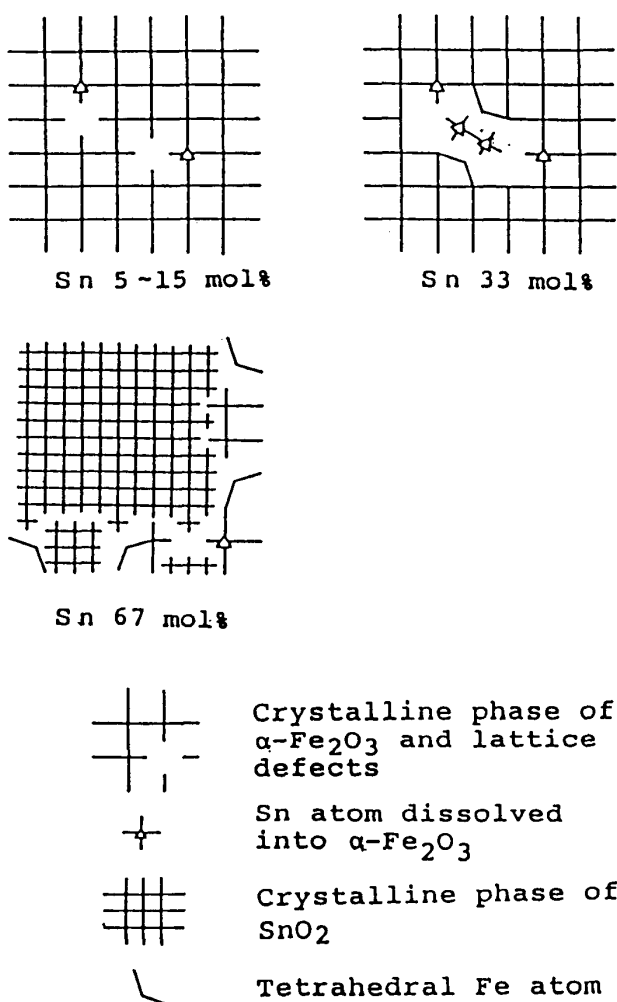


Chart I A proposed model for local structures of  $\text{Fe}_2\text{O}_3\text{-SnO}_2$  composite oxides.

研究のX線吸収法による結果より次のような構造を提案する(Chart 1)。 $\text{SnO}_2$ 15モル%まではスズ原子は $\alpha\text{-Fe}_2\text{O}_3$ のFe原子位置に置換的に固溶する。 $\text{Fe}_2\text{O}_3$ と $\text{SnO}_2$ 系の相図からは1473 Kにおいてスズの固溶限界は1%であるが、調製条件から $\text{SO}_4^{2-}$ が存在するためにスズは1%を超えることが示された。Fe-Sn結合の配位数が $\text{SnO}_2$ 33モル%で飽和することから、スズの鉄への固溶限界は15~33モル%といえる。 $\text{SnO}_2$ 33モル%をこえるとFe-O結合距離が $\alpha\text{-Fe}_2\text{O}_3$ より短くなることは4配位種が生成することによるもので、フーリエ変換図においてFe-Fe結合に相当するピークが減少していることと符号する。 $\text{SnO}_2$ 15モル%以上添加したとき置換飽和した過剰のスズは、3価の鉄に4価のスズが置換したため電荷を補償するため格子欠陥が生じそこにスズが入り込むため結晶が乱れると考えられる。

センサの検出感度が最大になるときの $\text{SnO}_2$ 添加量が15~20モル%になると本調製法による $\text{SnO}_2$ の $\alpha\text{-Fe}_2\text{O}_3$ への固溶飽和値が15モル%で一致することは、

SCI.REP.KYOTO PREF.UNIV.(NAT.SCI.&LIV.SCI.),NO.42,Ser.B, p.39~43(NOV.1991)

コランダム構造の $\alpha\text{-Fe}_2\text{O}_3$ のFeの位置に置換するSnとの複合効果がセンサ性能を向上させた要因と考えられる。

さらに構造を解明するためには、スズ側からX線吸収(K端でおよそ29 keV(Si (311)分光結晶を用いてθが7.4°と低角になるので測定に工夫が必要)による情報が必要である。

### 文 献

- 1) 池田, シンクロトロン放射(日本物理学会編), pp. 132~148 (1986), 培風館.
- 2) D.E. Sayers, E.A. Stern, and F.W. Lytle, Phys. Rev. Lett., **27**, 1204 (1971)
- 3) Y. Nakatani and M. Matsuoka, Jpn. J. Appl. Phys., **21**, L 758 (1982)
- 4) M. Takano, Y. Bando, N. Nakanishi, M. Sakai, and H. Okinaka, J. Solid State Chem., **68**, 153 (1987)
- 5) J. Cassedanne, An. Acad. Bras. Cien., **38**, 265 (1966)
- 6) S. Yoshida and T. Tanaka, Adv. X-ray Chem. Anal. Soc., **19**, 97 (1988); B.J. Tan, T. Tanaka, H. Kanai, S. Yoshida, and K.J. Klabunde, J. Am. Chem. Soc., **110**, 5951 (1988)
- 7) 解析は京都大学計算機センターのKABOプログラムによる
- 8) E.A. Stern, "X-ray Absorption" (D.C. Koningsberger and R. Prins ed.), pp. 3~51 (1988), John Wiley Sons
- 9) B.K. Teo and P.A. Lee, J. Am. Chem. Soc., **101**, 2815 (1979)
- 10) A. Bianconi, "X-ray Absorption" (D.C. Koningsberger and R. Prins ed.), pp. 573~662 (1988), John Wiley and Sons